

تعیین نواحی احتمالی تخلیه آب زیرزمینی زیردریایی به سواحل خلیج فارس در استان بوشهر با استفاده از نقشه ناهنجاری دمایی استاندارد

محسن فرزین^۱، علی اکبر نظری سامانی^{۲*}، سادات فیض نیا^۳، غلامعباس کاظمی^۴

۱. دانشجوی دکتری علوم و مهندسی آبخیزداری، دانشکده منابع طبیعی، دانشگاه تهران، کرج

۲. دانشیار، دانشکده منابع طبیعی، دانشگاه تهران، کرج

۳. استاد، دانشکده منابع طبیعی، دانشگاه تهران، کرج

۴. دکتری هیدروژئولوژی، مشاور خصوصی، امیرآباد، آبادان

(تاریخ دریافت ۱۳۹۵/۱۰/۲۵؛ تاریخ تصویب ۱۳۹۵/۱۲/۲۵)

چکیده

تخلیه آب زیرزمینی زیردریایی هرگونه جریان زیرسطحی آب است که از خشکی به طرف دریا وجود دارد. شناسایی نواحی دارای این جریان اهمیت بسیار زیادی در مطالعات هیدرولوژیک و اکولوژیک دارد. به منظور تعیین نواحی احتمالی تخلیه آب زیرزمینی به خلیج فارس در سواحل استان بوشهر، ابتدا با استفاده از نرم افزار ENVI[®] 5.3 و GIS10.3.1 و اعمال تصحیحات لازم (اتمسفریک، رادیومتریک، هندسی) بر داده‌های حرارتی باند ۱۰ لندست ۸، نقشه دمای سطح دریا (SST) تهیه شده و نقشه ناهنجاری دمایی استاندارد (STA) از آن استخراج شد. سپس با تعیین کمترین سطح مشترک ناهنجاری دمایی طی سال‌های ۲۰۱۵ و ۲۰۱۶ در سواحل استان بوشهر، نواحی احتمالی تخلیه آب زیرزمینی زیردریایی به خلیج فارس مشخص شد. نتایج نشان می‌دهد در محدوده ساحلی بندر مقام تا کنگان، کنگان تا رودخانه مند، رودخانه مند تا جزیره شیف، بندرگاه تا گناوه و بندر ریگ تا هندیجان، به ترتیب ۲۸۲۳، ۴۱۶۵، ۶۱۵۹، ۴۷۲۵ و ۴۴۴۵ هکتار سطح احتمالی تخلیه آب زیرزمینی زیردریایی وجود دارد. این سطح در کل سواحل استان بوشهر ۲۲۳۱۷ هکتار است که به خلیج فارس تخلیه می‌شود؛ به طوری که مهم‌ترین و بیشترین سطح تخلیه احتمالی در خلیج نایبند، محدوده دوپلنگو و خور خان، شرق و غرب شهر بوشهر (بندرگاه و شیف) و سواحل هندیجان مشاهده شد. سطح تعیین شده می‌تواند نشان‌دهنده وجود جریان شایان توجهی از تخلیه احتمالی آب زیرزمینی به خلیج فارس در سواحل استان بوشهر باشد. بنابراین، ضروری است با بررسی‌های تفصیلی‌تر و استفاده از روش‌های کمی‌سازی، مقدار آن را به طور دقیق برآورد کرد.

کلیدواژگان: تخلیه آب زیرزمینی زیردریایی، خلیج فارس، ناهنجاری دمایی استاندارد.

مقدمه

جریان‌های زیرسطحی آب که از طرف خشکی به طرف دریا وجود دارند و در بستر دریا رخنمون می‌یابند را تخلیه آب زیرزمینی زیردریایی (SGD^۱) می‌گویند. این جریان به‌صورت تراوش آرام و مداوم آب زیرزمینی در هر جا که سفره آب زیرزمینی گرادیان هیدرولیکی نسبی مثبت با سطح دریا دارد و به‌صورت هیدرولیکی به پیکره آب‌های سطحی متصل است، رخ می‌دهد. بنابراین، تقریباً همه مناطق ساحلی در معرض چنین جریانی قرار دارند [۱]. ورود آب زیرزمینی به منطقه ساحلی حداقل به سه دلیل می‌تواند اهمیت داشته باشد [۲]: ۱. آب زیرزمینی ممکن است املاح محلولی را حمل کند که آثار شیمیایی و اکولوژیک را در اطراف آب‌های ورودی به همراه داشته باشد؛ ۲. نفوذ آب شور و جنبه‌های هیدرولوژیک مربوط به منابع آب از جمله هدررفت آب شیرین؛ ۳. جنبه‌های ژئوتکنیکی ساحل (مانند پایداری رسوبات).

تا کنون برآورد دقیقی از میزان تخلیه آب زیرزمینی به‌صورت زیردریایی نشده است. با وجود این، تا چندی پیش بیشتر برآوردهای SGD، مقدار ۶ تا ۱۰ درصد آب‌های سطحی که به دریا وارد می‌شود را نشان می‌دادند [۱] این در حالی است که امروزه گفته می‌شود SGD، ۳-۴ برابر بیشتر از تخلیه رودخانه‌ای، وارد اقیانوس‌ها می‌شود [۳] و حتی برای دریای مدیترانه تا ۱۶ برابر بیشتر از جریان رودخانه‌ای بیان شده است [۴]. جالب توجه است که برخلاف رودخانه‌ها که بیش از ۵۰ درصد جریان آنها در اقیانوس اطلس تخلیه می‌شود، حدود ۷۰ درصد SGD جهان به اقیانوس‌های هند و آرام وارد می‌شود [۳]. آنچه مسلم است SGD تأثیر شایان توجهی را در چرخه آب ایفا می‌کند به‌طوری که می‌توان آن را یکی از اجزای مهم بیلان آبی به حساب آورد [۵]. بنابراین، شناسایی نواحی دارای این جریان اهمیت بسیار زیادی در مطالعات هیدرولوژیک و اکولوژیک دارد.

یکی از روش‌های تشخیص و تعیین جریان آب زیرزمینی زیردریایی، استفاده از تصاویر حرارتی ماهواره‌ای و مادون قرمز است [۶-۹] که اساس آن بر تعیین اختلاف دمای نواحی دارای تخلیه زیردریایی با دمای پیکره آبی اطراف استوار است.

از آنجا که چگالی آب شیرین زیرزمینی کمتر از چگالی آب دریا است و به‌صورت پلوم‌های شناور روی آب شور قرار می‌گیرد [۱۰ و ۱۱]، روش‌های حرارت‌سنجی یا دیگر روش‌های سنجش از دور پتانسیل خوبی در شناسایی اولیه نواحی تخلیه آب زیرزمینی دارند [۱۲ و ۱۳]. در واقع، دمای سطح دریا (SST^۲) در مقیاس منطقه‌ای را می‌توان با کمک داده‌های مادون قرمز حرارتی (TIR^۳) که توسط سنجنده‌های متصل به ماهواره ثبت می‌شود، برآورد کرد و به‌منظور اهداف هیدرولوژیک-هواشناسی [۱۴] و اکولوژیک [۱۵] استفاده کرد. از این‌رو، با کاربرد سنجش از دور حرارتی به‌عنوان یک ابزار اولیه قدرتمند می‌توان نواحی دارای پتانسیل SGD را برای بهینه‌سازی پیمایش صحرایی، از سایر نواحی، پیش‌غربالگری کرد [۱۶].

پیشینه تحقیق

بنکس و همکارانش [۶] با استفاده از تصاویر مادون قرمز توانستند مکان‌های تخلیه آب زیرزمینی در ناحیه مریلند ایالات متحده را شناسایی کنند. ایشان معتقدند که تفاوت تن تصاویر مادون قرمز می‌تواند تغییرات دمای سطح آب را نشان دهد و بنابراین می‌توان با الهام از آنها محل خروج چشمه‌های آب زیرزمینی را به پیکره آب‌های سطحی تعیین کرد. توماس و همکارانش [۱۷] با استفاده از سری زمانی داده‌های مادون قرمز حرارتی باند ۶ تصاویر ماهواره لندست TM، تغییرپذیری دمای سطح دریا در سواحل مرکزی ماین در ایالات متحده را بررسی کردند. ایشان مشاهده کردند که الگوهای غالب تغییرات دمای سطح دریا، فصلی است به‌طوری که در زمستان سردترین آب در نزدیکی ساحل و در تابستان عکس آن یعنی نزدیک ساحل گرم‌ترین آب را دارد و این تغییرات فقط در دو فصل تابستان و زمستان رخ می‌دهد و دمای سطح دریا در فصل بهار و پاییز همگن است. ایشان بر این باورند که تفاوت دمای سطح دریا در چهار خلیج مجاور یکدیگر در منطقه مطالعه‌شده به تفاوت ناشی از بازچرخانی آب، اختلاط جزر و مدی، ورودی آب شیرین و فلاشینگ مربوط می‌شود.

مجیاز و همکارانش [۱۸] با مطالعه تخلیه آب زیرزمینی یک سفره کارستی در ساحل غربی دریای

2. Sea Surface Temperature
3. Thermal infrared

1. Submarine Groundwater Discharge

مواد و روش‌ها

منطقه مطالعه شده

خلیج فارس از استراتژیک‌ترین مناطق جهان به حساب می‌آید که در قلب خاورمیانه قرار گرفته است. خلیج فارس محدوده آبی نیمه‌بسته‌ای است که بین ۴۸° تا ۵۶°۳۰ طول شرقی و ۲۴° تا ۳۰°۳۰ عرض شمالی، بین کشور ایران و شبه‌جزیره عربستان قرار دارد و از طریق تنگه هرمز با دریای عمان ارتباط دارد (شکل ۱). طول ساحل ایران با خلیج فارس ۱۲۶۰ و طول ساحل استان بوشهر ۶۲۵ کیلومتر است. میانگین عمق خلیج فارس ۳۶ متر است و دمای سطحی آن از ۱۲ در زمستان تا بیش از ۳۵ درجه سانتی‌گراد در تابستان متغیر است [۲۱]. خلیج فارس از شورترین منابع آبی در میان اقیانوس‌های جهان است به طوری که شوری آن در بیشتر مناطق حدود ۴۰ گرم در لیتر است؛ شوری زیاد آن به دلیل اقلیم خشک، تبخیر زیاد، ورودی کم آب شیرین نسبت به تبخیر و نیز تبادل محدود آب آن با آب اقیانوسی است. بیشتر آب شیرین ورودی به خلیج فارس از جریان رودخانه‌های کارون، هندیجان، دجله، فرات و سایر رودخانه‌ها و همچنین جریان‌های کوچک سطحی در بخش ایرانی آن تأمین می‌شود و بارندگی مستقیم نیز سهم ناچیزی در شیرینی آب آن دارد [۲۲]. اندازه‌گیری‌ها نشان می‌دهد به‌رغم اینکه دمای آب خلیج فارس به‌طور چشمگیری در تابستان بیشتر است، بیشترین تبخیر در زمستان رخ می‌دهد که اساساً به دلیل وزش بادهایی با سرعت بیشتر در این فصل است. اختلاف دمای سطح آب‌های سواحل بوشهر در فصل زمستان و تابستان تقریباً ۱۰ درجه سانتی‌گراد است؛ این در حالی است که شوری آن تقریباً بدون تغییر است [۲۲].

روش تحقیق

تعیین دمای سطح دریا (SST) با استفاده از داده‌های

TIR ماهواره لندست ۸

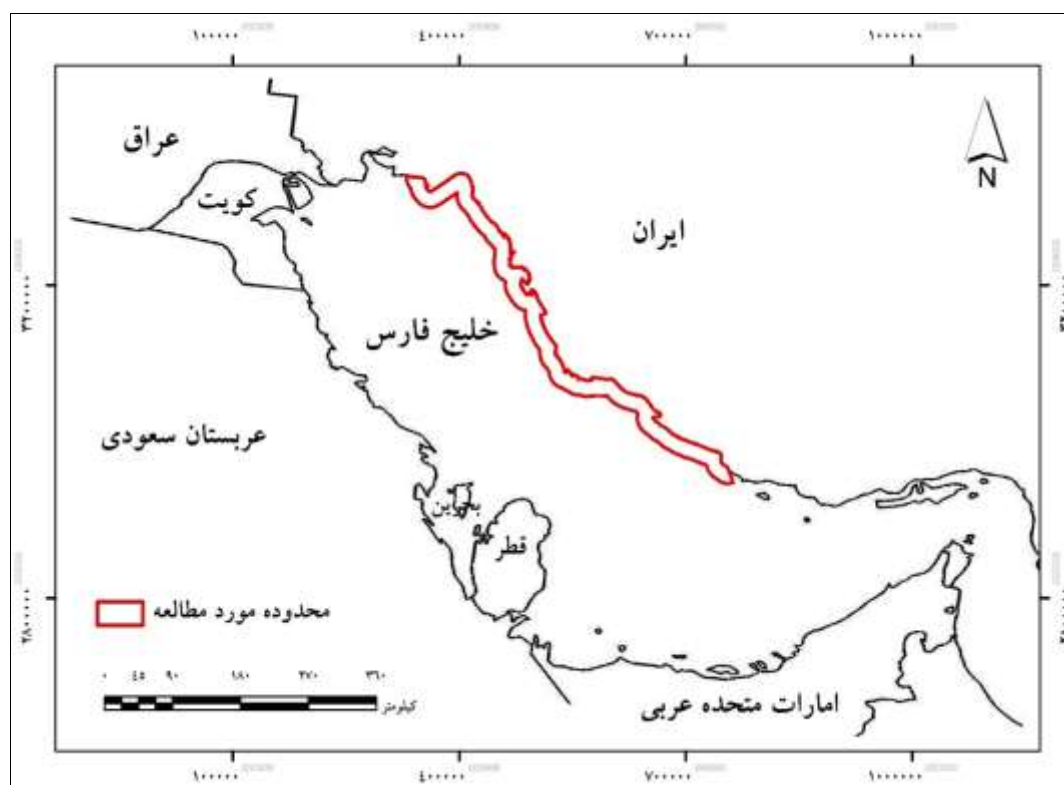
سیستم‌های سنجش از دور مانند تصاویر هوایی با تفکیک‌پذیری زیاد [۱۹]، تصویربرداری مادون قرمز هوایی دستی [۲۳] یا تصویربرداری حرارتی زمینی [۲۴] در عین حال که کارا و مؤثرند، بسیار پرهزینه هستند و برای ارزیابی در مقیاس منطقه‌ای یا پایش پیوسته تخلیه آب زیرزمینی در پیکره‌های وسیع آبی مناسب نیستند [۲۰].

مدیرانه با استفاده از تصاویر مادون قرمز هوایی (TIR) به‌منظور پایش ناهنجاری‌های فیزیکوشیمیایی به این نتیجه رسیدند که سه ناحیه اصلی در ساحل تحت تأثیر چشمه‌های زیردریایی قرار دارند و یکی از این چشمه‌ها در فاصله سه کیلومتری از ساحل قرار گرفته است.

لواندوزکی و همکارانش [۱۹] با یک مطالعه موردی در آلمان، برای اولین بار با اندازه‌گیری هوایی اشعه مادون قرمز حرارتی (TIR)، الگوی تخلیه آب زیرزمینی دریاچه‌های (LGD^۱) را برای دریاچه‌های آب شیرین عمیق به‌کار گرفتند و دریافتند که اندازه‌گیری TIR برای شناسایی الگوی تخلیه آب زیرزمینی در دریاچه‌ها، ابزاری قدرتمند است.

ویلسون و روچا [۲۰] الگوهای دمای سطح آب ایجادشده به‌وسیله تفسیر تصاویر حرارتی لندست ۷ را به‌منظور تعیین محل ورود آب زیرزمینی به دریاچه‌ای در غرب ایرلند استفاده کردند. در این مطالعه، پلوم‌های سرد ناهنجار موجود در حاشیه‌های کم‌عمق دریاچه در طول ماه‌های تابستان به‌عنوان محل تخلیه آب زیرزمینی در نظر گرفته شد. سپس، از غلظت رادون ۲۲۲ به‌منظور تأیید حضور آب زیرزمینی و تشخیص نقاط تراوش یا هات‌اسپات آب زیرزمینی استفاده کردند. هدایت الکتریکی نیز به‌عنوان ردیاب دوم برای پشتیبانی ردیاب رادون در شناسایی نواحی دارای جریان ورودی آب زیرزمینی فعال، استفاده شد. نتایج پژوهش آنها نشان داد آب زیرزمینی از سنگ‌های آهکی کربناته مجاور بخش شمالی و شرقی وارد دریاچه می‌شود. ایشان بر این باورند که یک رابطه غیرمستقیم قوی بین غلظت رادون و مقادیر دمای استخراجی از تصاویر ماهواره‌ای دیده می‌شود به طوری که کاهش دمای سطح آب افزایش فعالیت رادون و در نتیجه، ورودی آب زیرزمینی به دریاچه را به همراه دارد.

به‌رغم وجود پتانسیل بسیار زیاد تخلیه زیردریایی آب زیرزمینی به خلیج فارس تا کنون هیچ‌گونه گزارش یا مقاله علمی مربوط به تخلیه این جریان به‌ویژه در سواحل ایرانی خلیج فارس منتشر نشده است. از این‌رو، پژوهش حاضر سعی بر آن دارد با تعیین ناهنجاری‌های دمایی ناشی از تخلیه احتمالی آب زیرزمینی به سواحل استان بوشهر، درباره اهمیت این موضوع بحث کند.



شکل ۱. موقعیت محدوده مطالعه شده

نه باند طیفی در محدوده مرئی (VIS^3)، مادون قرمز نزدیک (NIR^4) و مادون قرمز موج کوتاه ($SWIR^5$)؛ TIRS با دو باند طیفی مادون قرمز موج بلند ($LWIR^6$) تفکیک پذیری مکانی TIRS ۱۰۰ متر با تکرار ۱۶ روزه است. ابتدا، کیفیت داده‌های برداشت شده توسط ماهواره‌های لندست ۸ از نظر ابرناکی و وجود گرد و غبار در پنج فریم که کل محدوده مد نظر را در بردارد طی سال‌های ۲۰۱۵ و ۲۰۱۶ به دقت بررسی شد و در نهایت از هر فریم حداقل چهار تکرار در طول هر سال از سایت سازمان زمین‌شناسی ایالات متحده دانلود شد. انتخاب هر تکرار به این صورت بود که علاوه بر عدم مشاهده ابر و گرد و غبار در تصویر، پراکنش فضلی محدوده را نیز شامل شود. جدول ۱ ویژگی‌های داده‌های ماهواره‌ای مد نظر را به نمایش گذاشته است.

از این‌رو و با توجه به وسعت بسیار زیاد محدوده مطالعه شده، از داده‌ها و تصاویر رایگان مربوط به سال‌های ۲۰۱۵ و ۲۰۱۶ ماهواره لندست ۸ برای تعیین نقشه‌های دمای سطح دریا استفاده شد. شایان یادآوری است که منظور از دمای سطح دریا، دمای آب لایه بالایی سطح دریا است که سنجنده ماهواره‌ای ثبت می‌کند و معمولاً حدود یک میلی‌متر ضخامت دارد [۱۱]. بدیهی است که نرخ تخلیه و حجم آب زیرزمینی ورودی به دریا، میزان تغییر دمای اطراف محل تخلیه را تعیین می‌کند به طوری که هر چه دبی جریان آب زیرزمینی بیشتر باشد، دمای سطح آب دریا در بالای محل تخلیه به دمای آب خروجی نزدیک‌تر است.

ماهواره لندست ۸ با دو سنجنده OLI^1 و $TIRS^2$ (برخلاف لندست ۷ که فقط یک سنجنده برای دریافت هر دو طیف انعکاسی و حرارتی دارد) در ۱۱ فوریه سال ۲۰۱۳ میلادی با پرتاب موفق در مدار قرار گرفت: OLI با

3. Visible
4. Near Thermal Infrared
5. Shortwave Thermal Infrared
6. Long Wave Thermal Infrared

1. Operational Land Imager
2. Thermal Infrared Sensor

جدول ۱. مشخصات داده‌های ماهواره لندست ۸، باند ۱۰ سنجنده TIRS

تاریخ برداشت	ردیف/گذر	تاریخ برداشت	ردیف/گذر	تاریخ برداشت	ردیف/گذر
۷ مارس ۲۰۱۵		۲ ژانویه ۲۰۱۵		۲۸ فوریه ۲۰۱۵	
۲۴ آوریل ۲۰۱۵		۷ مارس ۲۰۱۵		۱۷ آوریل ۲۰۱۵	
۱۷ ژوئن ۲۰۱۵		۲۷ ژوئن ۲۰۱۵		۲۰ ژوئن ۲۰۱۵	
۱۴ آگوست ۲۰۱۵	۱۶۳/۴۱	۱۴ آگوست ۲۰۱۵	۱۶۳/۴۰	۲۳ آگوست ۲۰۱۵	۱۶۲/۴۱
۶ فوریه ۲۰۱۶	کنگان تا رودخانه مند	۶ فوریه ۲۰۱۶	رودخانه مند تا شیف	۳ آوریل ۲۰۱۶	بندر مقام تا کنگان
۲۵ مارس ۲۰۱۶		۲۶ آوریل ۲۰۱۶		۱۲ اکتبر ۲۰۱۶	
۲۸ می ۲۰۱۶		۱۳ ژوئن ۲۰۱۶		۱۵ فوریه ۲۰۱۶	
۱۹ اکتبر ۲۰۱۶		۱ سپتامبر ۲۰۱۶		۱۸ مارس ۲۰۱۶	
<hr/>					
۲۵ ژانویه ۲۰۱۵		۲۵ ژانویه ۲۰۱۵		۲۵ ژانویه ۲۰۱۵	
۱۷ می ۲۰۱۵		۱۷ می ۲۰۱۵		۲۶ فوریه ۲۰۱۵	
۲۱ آگوست ۲۰۱۵		۲۱ آگوست ۲۰۱۵		۱۷ می ۲۰۱۵	
۲۲ سپتامبر ۲۰۱۵	۱۶۴/۴۰	۲۲ سپتامبر ۲۰۱۵	۱۶۴/۴۰	۲۱ آگوست ۲۰۱۵	۱۶۴/۳۹
۱۳ فوریه ۲۰۱۶	بندرگاه تا گناوه	۱۳ فوریه ۲۰۱۶	بندرگاه تا گناوه	۱۳ فوریه ۲۰۱۶	هندیجان تا بندر ریگ
۱۷ آوریل ۲۰۱۶		۱۷ آوریل ۲۰۱۶		۱۷ آوریل ۲۰۱۶	
۲۰ ژوئن ۲۰۱۶		۲۰ ژوئن ۲۰۱۶		۲۰ ژوئن ۲۰۱۶	
۲۴ سپتامبر ۲۰۱۶		۲۴ سپتامبر ۲۰۱۶		۲۴ سپتامبر ۲۰۱۶	

به‌دست می‌آید، Q_{cal} ارزش پیکسل رقومی شده و کالیبره‌شده (DN) ، A_L ضریب تبدیل جمعی است که در هدر تصاویر لندست ۸ به نام RADIANCE_ADD_BAND به‌دست می‌آید.

جدول ۲. مقادیر ضریب‌های ضربی و جمعی برای باندهای حرارتی سنجنده OLI/TIRS لندست ۸

ضریب	باند ۱۰	باند ۱۱
M_L	۰/۰۳۳۴	۰/۰۳۳۴
A_L	۰/۱	۰/۱

دمای درخشندگی سنجنده با استفاده از رابطه ۲ محاسبه می‌شود [۲۶]:

$$T = \frac{K_2}{\ln\left(\frac{K_1}{L_\lambda} + 1\right)} \quad (2)$$

در اینجا؛ T دمای روشنایی یا درخشندگی (BT) در سطح سنجنده بر حسب کلوین، L_λ رادیانس طیفی در بالای اتمسفر در سنجنده $(Watts/(m^2*sr*\mu m))$ ، K_1 و K_2 ضرایب کالیبراسیون حرارتی سنجنده هستند. با تفریق حاصل رابطه ۲ در عدد $273/15$ ، دمای برآوردی به درجه سانتی‌گراد تبدیل می‌شود.

به‌طور کلی، کمی‌سازی به‌منظور بازیابی دمای سطح زمین از طریق داده‌های باند حرارتی ماهواره به چندین عامل نیاز دارد از جمله کالیبره کردن رادیومتریک سنجنده، تصحیح اتمسفری، تصحیح گسیلمندی سطحی، تعیین ویژگی تغییرپذیری مکانی پوشش زمین و تأثیرات ترکیبی هندسی، پس‌زمینه و پوشش گیاهی جزئی [۲۵].

از این‌رو، ابتدا در محیط نرم‌افزار ENVI[®] 5.3 تصحیحات لازم اتمسفریک بر باندهای حرارتی اعمال شد. سپس به‌منظور بررسی وجود داشتن یا نداشتن خطاهای هندسی و رادیومتری، بررسی کیفیت داده‌ها روی تصاویر ماهواره‌ای صورت گرفت. بدین ترتیب که با بررسی تصاویر تک‌باند و ترکیبات رنگی مختلف خطای شایان توجهی مشاهده نشد. همچنین همه تجزیه و تحلیل‌ها و استخراج نقشه‌های دمای سطحی با استفاده از نرم‌افزار GIS10.3.1 انجام شد:

برای تبدیل ارزش‌های پیکسل (DN) به تابش طیفی یا رادیانس (TOA) در سنجنده OLI/TIRS ماهواره لندست ۸ از رابطه ۱ استفاده می‌شود [۲۶]:

$$L_\lambda = M_L * Q_{cal} + A_L \quad (1)$$

در اینجا؛ L_λ رادیانس طیفی در بالای اتمسفر در سنجنده $(W/(m^2*sr*\mu m))$ ، M_L فاکتور تبدیل ضریبی که در هدر تصاویر لندست ۸ به نام RADIANCE_MULT_BAND

در اینجا؛ TA^1 ناهنجاری حرارتی، T_p دمای هر پیکسل و \bar{T} مقدار دمای میانگین سطح دریا به درجه سانتی‌گراد است. در صورت نبود داده‌های دمایی ثبت‌شده در تاریخ و مکان دقیقی که در آن تصویر ماهواره‌ای برداشت شده است، داده‌های دمایی ماهواره‌ای را نمی‌توان با ایجاد نقشه کرد. این محدودیت را می‌توان با ایجاد نقشه استاندارد شده‌ای فراهم کرد که امکان مقایسه مقادیر دمای سطح دریا که از داده‌های ماهواره‌ای در زمان‌های مختلف به دست آمده است را دارد. برای محاسبه مقدار ناهنجاری حرارتی استاندارد شده، مقادیر TA بر انحراف از معیار مقادیر دمایی سطح دریا تقسیم می‌شود [۲۰]:

$$STA = \frac{TA}{\sigma} \quad (۶)$$

در اینجا؛ STA^2 ناهنجاری حرارتی استاندارد (بدون بُعد)، TA ناهنجاری حرارتی و σ انحراف از معیار است. پس از تهیه نقشه STA ، با اعمال کلاس‌بندی‌های مختلف در محیط GIS، کمترین سطح ناهنجاری مشخص شده و با ترسیم مرز هر یک از ناهنجاری‌ها در هر یک از تصاویر، نقشه پراکنش ناهنجاری‌های حرارتی تهیه شد.

نتایج

شکل ۲ به‌طور نمونه، نقشه ناهنجاری دمایی استاندارد (STA) طی سال‌های ۲۰۱۵ و ۲۰۱۶ را در محدوده کنگان تا حوالی رودخانه مند سواحل استان بوشهر نشان می‌دهد.

شکل ۳ محدوده ناهنجاری‌های ترسیم‌شده مستخرج از نقشه‌های ناهنجاری دمایی استاندارد (STA) را طی سال‌های ۲۰۱۵ و ۲۰۱۶ نشان می‌دهد که بر اساس نقشه‌های دمایی استاندارد و با توجه به تأییری ترسیم شده است که تخلیه آب زیرزمینی زیردریایی بر تغییر دمای سطح آب‌های ساحلی دارد و موجب ایجاد لکه‌های دمایی متفاوت از دمای اطراف می‌شود. با توجه به همپوشانی تصاویر ماهواره‌ای، بخشی از ناهنجاری‌های دمایی مشاهده شده در هر فریم، در تصویر جانبی نیز تکرار می‌شود. از طرف دیگر، مشاهده ناهنجاری دمایی در زمان‌های مختلف نیز اهمیت بسیار زیادی دارد زیرا بیان‌کننده وجود جریان احتمالی تخلیه‌ای به دریاست. از

جدول ۳. مقادیر ضرایب کالیبراسیون حرارتی سنجنده

OLITIRS لندست ۸

ضریب	باند ۱۰	باند ۱۱
K_1	۷۷۴/۸۸۵۳	۴۸۰/۸۸۸۳
K_2	۱۳۲۱/۰۷۸۹	۱۲۰۱/۱۴۴۲

برآورد دمای سطح زمین با الگوریتم‌های مختلف نشان داده است که استفاده از داده‌های باند ۱۰، دقت به مراتب بیشتری نسبت به باند ۱۱ دارد [۲۶] و باید از کاربرد داده‌های باند ۱۱ به‌ویژه در جایی اجتناب کرد که به تصحیح کامل نیاز دارند [۲۷]. همچنین سازمان زمین‌شناسی ایالات متحده [۲۸] نیز به دلیل وجود نورهای مزاحم در باند ۱۱ و در نتیجه عدم قطعیت شایان توجه در کیفیت داده‌های به دست آمده از این باند، استفاده از باند ۱۱ را توصیه نمی‌کند. از این‌رو، به منظور تعیین دمای سطح دریا در محدوده مطالعه شده، فقط از داده‌های باند ۱۰ ماهواره لندست ۸ استفاده شد. در نهایت، دمای سطح دریا با استفاده از رابطه ۳ محاسبه شد [۲۹]:

$$SST = \frac{BT}{\ln \varepsilon * \left(\frac{BT}{\rho}\right)^{w+1}} \quad (۳)$$

$$\rho = \frac{hc}{s} \quad (۴)$$

BT دمای درخشندگی (درجه سانتی‌گراد)، w طول موج رادیانس گسیل شده، h ثابت پلانک ($6.626 * 10^{-34}$ JS)، c سرعت نور ($2.998 * 10^8$ m/s)، s ثابت بولتزمن ($1.38 * 10^{-23}$ J/K)، ε گسیلمندی هستند. با توجه به طول موج دریافتی توسط باند ۱۰ ماهواره لندست ۸ و میانه آن که برابر با ۱۰/۹ میکرومتر است [۲۷]، مقدار عددی گسیلمندی برای آب دریا، ۰/۹۸۹ در نظر گرفته شد [۲۰ و ۲۵].

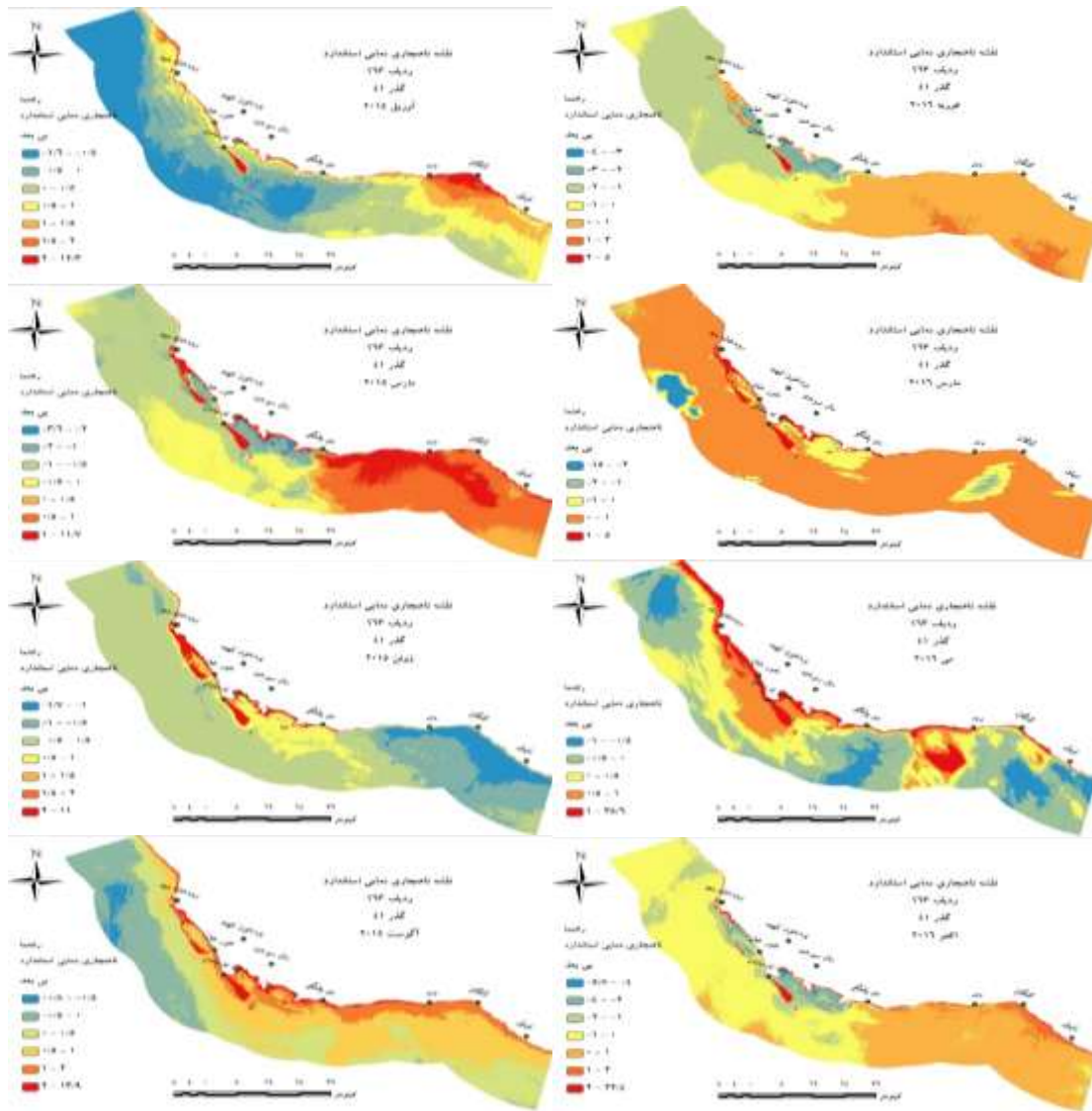
نقشه ناهنجاری دمایی

به منظور شناسایی نواحی احتمالی ورود آب زیرزمینی به سواحل منطقه مطالعه شده، نقشه ناهنجاری دمایی تهیه شد. ناهنجاری حرارتی به صورت تفاوت بین دمای سطح دریا در هر پیکسل با مقدار دمای میانگین کل تصویر تعریف می‌شود [۲۰]:

$$TA = T_p - \bar{T} \quad (۵)$$

بندرگاه تا گناوه و بندر ریگ تا هندیجان، به ترتیب، ۲۸۲۳، ۴۱۶۵، ۶۱۵۹، ۴۷۲۵ و ۴۴۴۵ هکتار برآورد شد (جدول ۴). بنابراین، در کل سواحل استان بوشهر ۲۲۳۱۷ هکتار محدوده احتمالی تخلیه آب زیرزمینی به خلیج فارس وجود دارد به طوری که مهم ترین و بیشترین سطح آن در خلیج نایبند، محدوده دوپلنگو و خور خان، شرق و غرب شهر بوشهر (بندرگاه و شیف) و سواحل هندیجان مشاهده شد (شکل ۴). در نواحی محدودتر نیز مشاهده می شود که به رغم ناچیزبودن سطح آنها، ضروری است مورد توجه قرار گیرند از جمله حد فاصل کنگان تا بندر دیر، حوالی روستای کلات، بندر ریگ و حوالی روستای شاه عبدالله.

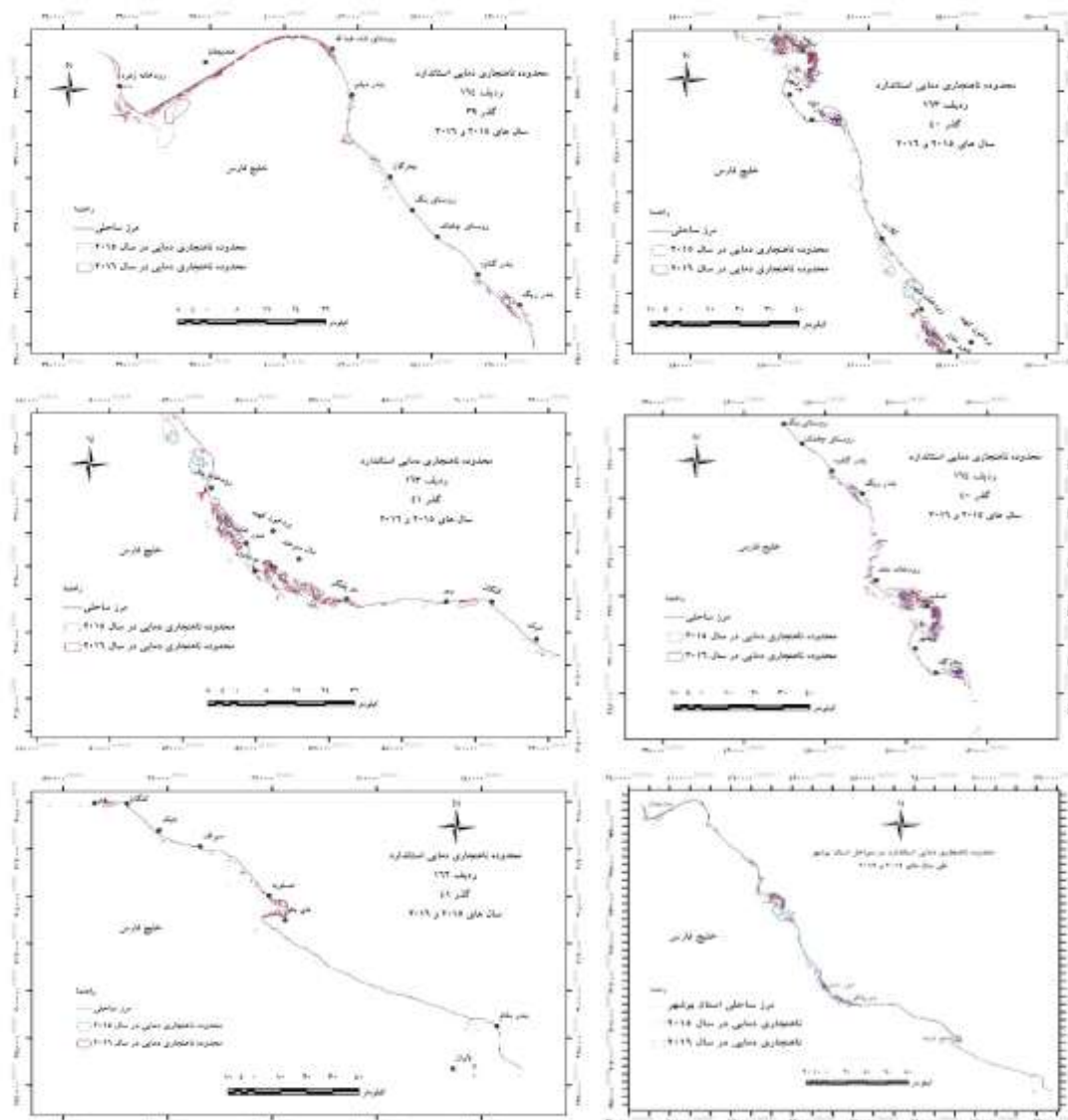
این رو، کمترین سطح مشترک تعریف و تعیین شد. کمترین سطح مشترک ناهنجاری به سطحی گفته می شود که دفعات تکرار ناهنجاری، حداقل در دو تاریخ متفاوت مشاهده شود به طوری که بخشی از ناهنجاری ها کمترین سطحی برای همپوشانی مشترک داشته باشد. این سطح مشترک، علاوه بر کاهش خطاهای احتمالی در تعیین سطح ناهنجاری طی فرایندهای استخراج و تفسیر نقشه ها، نشان دهنده تداوم محدوده ناهنجار دمایی است که می تواند به عنوان محل تخلیه دائمی جریان آب زیرزمینی به دریا تلقی شود. این سطح در نواحی بندر مقام تا کنگان، کنگان تا رودخانه مند، رودخانه مند تا جزیره شیف،



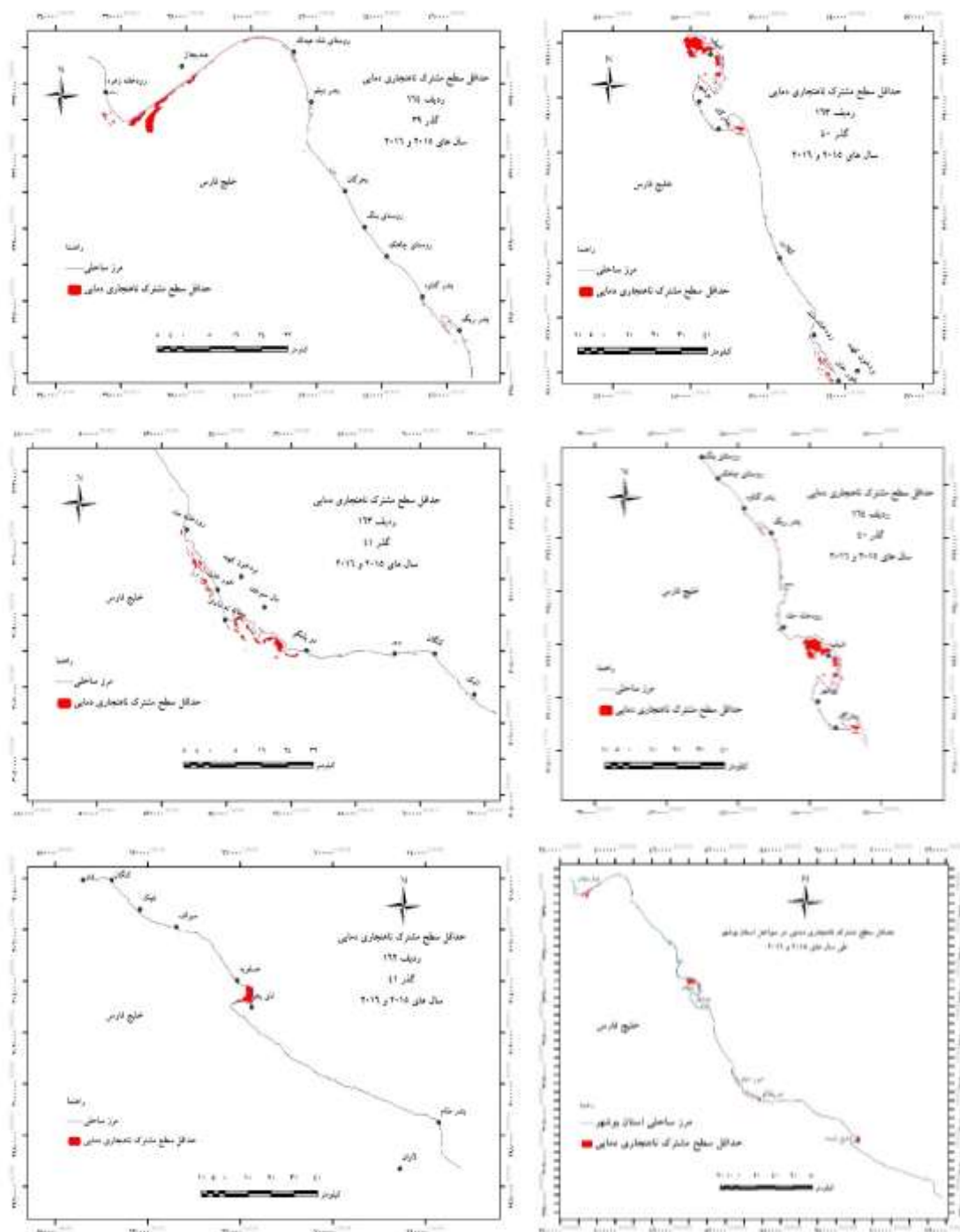
شکل ۲. نقشه ناهنجاری دمایی استاندارد (STA) از کنگان تا رودخانه مند طی سال های ۲۰۱۵ و ۲۰۱۶ (برای نمونه)

جدول ۴. سطح ناهنجاری‌های دمایی مشاهده‌شده در سواحل استان بوشهر طی سال‌های ۲۰۱۵ و ۲۰۱۶

ردیف/گذر تصویر نام محدوده	سطح ناهنجاری دمایی در سال ۲۰۱۵ (هکتار)	سطح ناهنجاری دمایی در سال ۲۰۱۶ (هکتار)	کمترین سطح مشترک ناهنجاری طی دو سال (هکتار)
۱۶۲/۴۱ بندر مقام تا کنگان	۲۹۹۳	۴۵۶۶	۲۸۲۳
۱۶۳/۴۰ رودخانه مند تا شیف	۱۹۰۶۲	۶۹۵۶	۶۱۵۹
۱۶۳/۴۱ کنگان تا رودخانه مند	۱۷۵۰۸	۶۹۱۶	۴۱۶۵
۱۶۴/۳۹ هنديجان تا بندر ریگ	۱۳۰۲۶	۸۵۱۸	۴۴۴۵
۱۶۴/۴۰ بندرگاه تا گناوه	۷۷۵۲	۵۴۲۹	۴۷۲۵
کل سواحل استان	۶۰۳۴۱	۳۲۳۸۵	۲۲۳۱۷



شکل ۳. محدوده ناهنجاری‌های ترسیم‌شده طی سال‌های ۲۰۱۵ و ۲۰۱۶



شکل ۴. نواحی احتمالی تخلیه آب زیرزمینی زبردriایی به سواحل استان بوشهر

بحث و نتیجه گیری

تعریف می شود. این جریان می تواند شامل بخش های چندگانه باشد [۱]: نخست آب شیرین ناشی از بارش اتمسفری که به درون خاک یا سنگ نفوذ می کند و به آب زیرزمینی می پیوندد. بخش مهم دیگر، آب چرخشی دریا است که ممکن است در بخشی توسط گرادیان های هیدرولیکی و نیز نیروهای مختلف اقیانوسی ایجاد شده باشد. در برخی موارد

امروزه جریان آب زیرزمینی زبردriایی (SGD) به یک موضوع تحقیقاتی شایان توجه تبدیل شده است [۱۰]. تخلیه آب زیرزمینی به دریا، هر جریان یا همه جریان های آب زیرسطحی در کناره های قاره ای بستر دریا به ساحل اقیانوس بدون در نظر گرفتن ترکیب مایع و نیروی محرکه عامل آن،

ساحل رخ می‌دهد [۳۸]. بنابراین، بدیهی است که بیشترین تأثیر SGD در ورود ریزمغذی‌ها، نزدیک ساحل و در کمتر از پنج کیلومتری آن باشد [۳۱]. در این پژوهش نیز بیشترین ناهنجاری‌های دمایی که تداوم نیز دارد در نزدیکی ساحل مشاهده شد که با نتایج بنکس و همکارانش [۶]، لوواندوزکی و همکارانش [۷]، شبان و همکارانش [۸]، استوفولی و همکارانش [۹]، توماس و همکارانش [۱۷] و ویلسون و روچا [۲۰] مطابقت دارد.

عوامل مختلفی بر ثبت دمای سطح آب دریا توسط سنجنده تأثیرگذار هستند و می‌توانند موجب بروز ناهنجاری دمایی در داده‌های حرارتی ماهواره‌ای شوند مانند تغییر عمق آب دریا در امتداد ساحل، ورود جریان‌های سطحی به دریا، وجود لکه‌های آلوده و نفتی، وجود توده‌های جلبک شناور، تخلیه آب گردشی نیروگاه‌های ساحلی و حتی شناورهای غول‌پیکر. بنابراین، به‌منظور به‌حداقل رساندن خطای ناشی از عوامل یادشده، از داده‌های ماهواره‌ای طی دو سال استفاده شد به طوری که بتوان کمترین سطح مشترک بین محدوده‌های ناهنجاری ترسیم‌شده را تعیین و تعیین کرد. بنابراین، چنانچه ناهنجاری دمایی در سواحل دریا مشاهده شد به طوری که علاوه بر تداوم حضور در یک نقطه خاص، سطح آن نیز در طول ماه‌های مختلف سال تغییر کند (به دلیل نرخ متفاوت تخلیه آبخوان در طول سال) به احتمال بسیار زیاد و با دقت قابل قبولی می‌توان چنین ناهنجاری را ناشی از تخلیه آب زیرزمینی زیردریایی دانست. البته، این بدان معنا نیست که نیازی به کنترل زمینی و پیمایش دریایی نیست، بلکه با تعیین سطح مشترک ناهنجاری با استفاده از سنسجش‌ازدور، می‌توان مقیاس منطقه‌ای پژوهش را به کمترین سطح ممکن مورد نیاز برای بررسی صحرایی و پیمایش دریایی رسانید. آنچه در این پژوهش اهمیت ویژه‌ای داشته است، تعیین کمترین سطوح احتمالی است که می‌تواند ناشی از تخلیه زیردریایی آب زیرزمینی باشد؛ این سطح ناهنجاری طی سال‌های ۲۰۱۵ و ۲۰۱۶ اختلاف شایان توجهی را نشان می‌دهد که می‌تواند ناشی از نرخ متفاوت تخلیه آب زیرزمینی زیردریایی باشد. با توجه به کمترین سطح متأثر از تخلیه احتمالی آب زیرزمینی (حداقل ۲۲ هزار هکتار) در خلیج فارس، مقدار جریان شایان توجهی می‌تواند به سواحل استان بوشهر تخلیه شود. بنابراین، ضروری است با بررسی‌های تفصیلی‌تر، کیفیت جریان تخلیه‌شده را تعیین

نیز SGD آب زیرزمینی شور دارد. در این حالت آب زیرزمینی می‌تواند قبل از رسیدن به آبخوان شور شده باشد (به‌طور مثال، تماس با گنبد‌های نمکی احتمالی در مسیر حرکت جریان) یا با انحلال نمک موجود در محیط آبخوان شور شود. اساساً تخلیه آب زیرزمینی از دو جنبه اهمیت دارد: جنبه اکولوژیک که با ورود ریزمغذی‌ها و آلاینده‌ها به پیکره‌های آبی به‌ویژه خلیج‌ها و دریاچه‌ها می‌تواند تأثیر شایان توجهی بر اکوسیستم و محیط اطراف محل تخلیه داشته باشد. از این‌رو، در حال حاضر بررسی انتقال مواد (ریزمغذی‌های و آلاینده‌ها) از طریق این جریان به سواحل و تأثیر احتمالی آن بر اکوسیستم آبی در دستور کار پژوهشگران کشورهای توسعه یافته قرار دارد [۳۱-۳۳] و جنبه هیدرولوژیک که با تخلیه آب شیرین و هدررفت آن برای مناطق خشک به‌ویژه نواحی ساحلی خلیج فارس اهمیت بسیار زیادی دارد. بر اساس برخی گزارش‌ها، میزان آب تخلیه‌شده در حاشیه جنوبی خلیج فارس و کشور بسیار کم‌بارش بحرین به مقدار شایان توجهی تخمین زده می‌شود [۳۴] و بر همین اساس، بحرین و قطر در حال استفاده از قسمتی از این ذخیره هستند به طوری که تا سال ۱۹۲۵ تنها منبع تأمین آب شرب بحرین، ۱۵ چشمه زمینی و ۲۴ چشمه زیردریایی بوده است [۳۵]. از طرف دیگر، ال‌بسم و تیرو [۳۶] بر این باورند که صحرای عربستان و ارتفاعات بحرین و قطر با میزان بارش ناچیز سالانه، منبع تغذیه چشمه‌های زیردریایی بحرین هستند. ارتفاعات سواحل جنوبی ایران نیز با گسترش سازندهای کارستی و رخنمون احتمالی آنها در سواحل شمالی خلیج فارس و نیز میانگین بارش به‌مراتب بیش از عربستان، بحرین و قطر، می‌تواند منبع تأمین‌کننده آب چشمه‌هایی مشابه و حتی افزون‌تر از چشمه‌های بحرین باشد. به‌طور کلی، در سواحل خلیج فارس آن بخش از SGD که اهمیت دارد، آب شیرین و حاصل از بارش سفره آب زیرزمینی است که با وجود گرادیان‌های زیاد هیدرولیکی به طرف خلیج فارس به حرکت درمی‌آید. وجود گرادیان مثبت هیدرولیکی در خشکی، به تراوش آب زیرزمینی در نزدیکی ساحل منجر می‌شود. این در حالی است که سفره‌های تحت فشار یا آرتزین می‌توانند از ساحل فاصله بگیرند [۳۷]. همچنین در بسیاری از مطالعات مشاهده شده است که SGD با فاصله گرفتن از ساحل و افزایش عمق آب، کاهش می‌یابد. در واقع، به‌عنوان یک قانون کلی، بیشترین نرخ SGD آب شیرین در نزدیکی

- discharge: application of remote sensing to north Lebanon. *Environmental Geology*. 2005;47(4): 512-522.
- [9]. Stefouli M, Tsombos T. Identification and monitoring of fresh water outflows in coastal areas: pilot study on Psahna area/Evia island - Greece, 10th International Congress, Thessaloniki, Bulletin of the Geological Society of Greece. 2004.
- [10]. Moore WS. The Effect of Submarine Groundwater Discharge on the Ocean. *Annual Review of Marine Science*. 2010;2(1): 59-88.
- [11]. Xing QG, Braga F, Tosi L, Lou M, Zaggia L, Teatini P, et al. Detection of low salinity groundwater seeping into the Eastern Laizhou Bay (China) with the aid of Landsat Thermal Data. In: Harff J, Zhang H, editors. *Environmental Processes and the Natural and Anthropogenic Forcing in the Bohai Sea, Eastern Asia*. *Journal of Coastal Research (Special Issue)*. 2016;74: 149-156.
- [12]. Ford D, Williams P. *Karst Hydrogeology and Geomorphology*. John Wiley & Sons; 2007.
- [13]. Taniguchi M, Burnett WC, Smith CF, Paulsen RJ, O'Rourke D, Krupa S. Spatial and temporal distributions of submarine groundwater discharge rates obtained from various types of seepage meters at a site in the northeastern Gulf of Mexico. *Biogeochemistry*. 2003;66: 35-53.
- [14]. Tardy B, Rivalland V, Huc M, Hagolle O, Marcq S, Boulet G. A Software Tool for Atmospheric Correction and Surface Temperature Estimation of Landsat Infrared Thermal Data. *Remote Sensing*. 2016;8(696): 1-24.
- [15]. Moradi M, Kabiri K. Spatio-temporal variability of SST and Chlorophyll-a from MODIS data in the Persian Gulf. *Marine Pollution Bulletin*. 2015;98 (1-2): 14-25.
- [16]. Hennig H, Mallast U, Merz R. Multi-temporal thermal analyses for submarine groundwater discharge (SGD) detection over large spatial scales in the Mediterranean. *Geophysical Research Abstracts*. 2015;17: 4929.
- [17]. Thomas A, Byrne D, Weatherbee R. Coastal sea surface temperature variability from Landsat infrared data. *Remote Sensing of Environment*. 2002;81: 262-272.
- [18]. Mejías M, Ballesteros BJ, Antón-Pacheco C, Domínguez JA, García-Orellana J, García-Solsona E, Masqué P. Methodological study of submarine groundwater discharge from a karstic aquifer in the Western Mediterranean Sea. *Journal of Hydrology*. 2012;464-465: 27-40.
- کرد و با استفاده از روش‌های کمی‌سازی مقدار آن را نیز به‌طور دقیق برآورد کرد؛ چراکه علاوه بر تأثیر اکولوژیک این جریان بر سواحل خلیج فارس (انتقال آلاینده‌ها و ریزمغذی‌ها)، با توجه به کمبود شدید آب شیرین در پهنه‌های ساحلی و روند رو به رشد توسعه صنعتی و صنایع نفت و گاز و جلب سرمایه‌گذاری خارجی و در نتیجه افزایش روزافزون تقاضا برای آب در این مناطق و تمایل سیاست‌گذاران به سوی فناوری‌های هزینہ‌بر آب‌شیرین‌کن و پروژه‌های انتقال آب برای تأمین آب آشامیدنی مردم این منطقه، بهره‌برداری مناسب از این منابع احتمالی می‌تواند گام مؤثری برای برطرف کردن نیازهای پایه‌ای ساکنان منطقه باشد.

منابع

- [1]. Burnett WC, Bokuniewicz H, Huettel M, Moore WS, Taniguchi M. Groundwater and pore water inputs to the coastal zone. *Biogeochemistry*. 2003;66: 3-33.
- [2]. Burnett WC, Aggarwal PK, Aureli A, Bokuniewicz H, Cable JE, Charette MA, et al. Quantifying submarine groundwater discharge in the coastal zone via multiple methods. *Science of the Total Environment*. 2006;367: 498-543.
- [3]. Kwon E, Kim G, Primeau F, Moore W, Cho HM, DeVries T, et al. Global estimate of submarine groundwater discharge based on an observationally constrained radium isotope model. *Geophys. Res. Lett*. 2014;41, 8438-8444.
- [4]. Rodellas V, Garcia-Orellana J, Masqué P, Feldman M, Weinstein Y. Submarine groundwater discharge as a major source of nutrients to the Mediterranean Sea. *Proc. Natl. Acad. Sci. U. S. A*. 2015;112: 3926-3930.
- [5]. Kottmeier C, Agnon A, Al-Halbouni D, Alpert P, Corsmeier C, Dahm T, et al. New perspectives on interdisciplinary earth science at the Dead Sea: The DESERVE project. *Science of the Total Environment*. 2016;544: 1045-1058.
- [6]. Banks W, Paylor R, Hughes W. Using thermal infrared imagery to delineate groundwater discharge. *Groundwater*. 1996;34: 434-444.
- [7]. Lewandowski J, Meinikmann K, Ruhtz T, Pöschke F, Kirillin G. Localization of lacustrine groundwater discharge (LGD) by airborne measurement of thermal infrared radiation. *Remote Sensing of Environment*, 2013;138: 119-125.
- [8]. Shaban A, Khawlie M, Abdallah C, Faour G. Geologic controls of submarine groundwater

- [19]. Lewandowski J, Meinikmann K, Ruhtz T, Pöschke F, Kirillin G. Localization of lacustrine groundwater discharge (LGD) by airborne measurement of thermal infrared radiation. *Remote Sensing of Environment*, 2013;138: 119–125.
- [20]. Wilson J, Rocha C. A combined remote sensing and multi-tracer approach for localizing and assessing groundwater-lake interactions. *International Journal of Applied Earth Observation and Geoinformation*. 2016;44: 195–204.
- [21]. ROPME (the Regional Organization for the Protection of the Marine Environment). *Regional Report of the State of the Marine Environment*, Kuwait; 2000.
- [22]. Reynolds RM. Physical Oceanography of the Gulf, Strait of Hormuz, and the Gulf of Oman--Results from the Mt Mitchell Expedition. *Marine Pollution Bulletin*. 1993;27: 35-59.
- [23]. Duarte TK, Hemond HF, Frankel D, Frankel S. Assessment of submarine groundwater discharge by handheld aerial infrared imagery: case study of Kaloko fishpond and bay, Hawai'i. *Limnology and Oceanography: Methods*. 2006;4: 227–236.
- [24]. Schuetz T, Weiler M. Quantification of localised groundwater inflow into streams using ground-based infrared thermography. *Hydrology and Land Surface Studies*. 2011;38 (3): 1-5.
- [25]. Srivastava PK, Majumdar TJ, Bhattacharya AK. Surface temperature estimation in Singhbhum Shear Zone of India using Landsat-7 ETM+ thermal infrared data. *Advances in Space Research*. 2009;43: 1563–1574.
- [26]. USGS. *LANDSAT 8 (L8) DATA USERS HANDBOOK*, 2nd ed. L8DS-1574; 2016.
- [27]. Montanaro M, Gerace A, Lunsford A, Reuter D. Stray Light Artifacts in Imagery from the Landsat 8 Thermal Infrared Sensor. *Remote Sensing*. 2014;11: 10435-10456.
- [28]. Barsi JA, Schott JR, Hook SJ, Raqueno NG, Markham BL, Radocinski RG. Landsat-8 Thermal Infrared Sensor (TIRS) Vicarious Radiometric Calibration. *Remote Sensing*, 2014;6: 11607-11626.
- [29]. USGS. Pages dedicated to Landsat missions. Calibration Notices of January 29, 2014 Landsat 8 Reprocessing to Begin February 3, 2014. Available online: http://landsat.usgs.gov/calibration_notices.php (accessed on 31 October 2016).
- [30]. Artis DA, Carnahan WH. Survey of emissivity variability in thermography of urban areas. *Remote Sensing of Environment*. 1982;12(4): 313–329.
- [31]. Hwang DW, Lee IS, Choi M, Kim TH. Estimating the input of submarine groundwater discharge (SGD) and SGD-derived nutrients in Geje Bay, Korea using ²²²Rn-Si mass balance model. *Marine Pollution Bulletin*. 2016;110: 119–126.
- [32]. Lecher AL, Fisher AT, Paytan A. Submarine groundwater discharge in Northern Monterey Bay, California: Evaluation by mixing and mass balance models. *Marine Chemistry*. 2016;179: 44–55.
- [33]. Russoniello CJ, Konikow LF, Kroeger KD, Fernandez C, Andres AS, Michael HA. Hydrogeologic controls on groundwater discharge and nitrogen loads in a coastal watershed. *Journal of Hydrology*. 2016;538: 783–793.
- [34]. Nugent J, Thomas T. *Bahrain and the Gulf, Past Perspectives and Alternative Futures*. Palgrave Macmillan press; 1985.
- [35]. Zubari WK, Madany IM, Al-Junaid. Trends in the quality of groundwater in Bahrain with respect to salinity, 1941–1992. *Environment International*. 1994;20 (6): 739-746.
- [36]. Al Bassam AA, Tiro EHM. Using remote sensing and GIS for submarine freshwater springs exploration as a plausible water source in Saudi Arabia. *Sixth National GIS Symposium in Saudi Arabia April 24 – 26, 2011 Le Meridian, Al-Khobar – Eastern Province*.
- [37]. Stefouli M, Vasileiou E, Charou E, Stathopoulos N, Perrakis A, Giampouras P. Remote sensing techniques as a tool for detecting water outflows. The case study of Cephalonia Island. *Bulletin of the Geological Society of Greece*. 2013;47 (3): 1519-1528.
- [38]. UNESCO. Submarine groundwater discharge, management implications, measurements and effects. *IHP-VI Series on Groundwater*. 2004;5: 1-35.